

УДК 541.49+546.722

П.В. Фабинский*, Е.Е. Сергеев*, О.А. Баюков**, В.А. Фёдоров*

ФОТОХИМИЧЕСКИЙ СИНТЕЗ бис-ФЕРРОЦЕНОИЛАЦЕТОНАТА ЖЕЛЕЗА(II)

(*Сибирский государственный технологический университет,

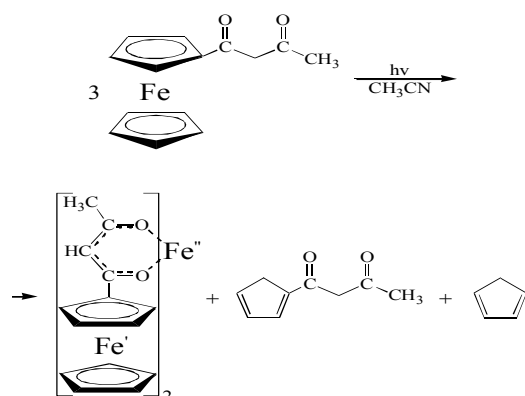
**Институт физики им. Л.В. Киренского СО РАН)

e-mail: chem@sibstu.kts.ru

Фотолизом ферроценоилацетона в координирующем растворителе получен бис-ферроценоилацетонат железа(II). Установлен состав и строение комплекса методами элементного анализа, ИК-, электронной и Мессбауэровской ⁵⁷Fe спектроскопии.

Ключевые слова: фотолиз, комплекс, элементный состав, ИК- и электронный спектр, эффект Мессбауэра

Внутрикомплексные соединения железа(II) с лигандами на базе β-дикетонов ферроцена являются наиболее эффективными компонентами катализаторов горения твердых ракетных топлив и инициаторов полимеризации олефиновых мономеров [1, 2]. Главной задачей на пути к исследованию свойств хелатов является их синтез. Стандартным способом получения ферроценоилацетонатов железа является взаимодействие раствора лиганда и соли металла [3, 4]. Предлагаемый нами метод основывается на облучении лиганда УФ излучением в координирующем растворителе. Механизм фотолиза ферроценоилацетона [5] приведен в работе [6].



В кварцевом реакторе раствор 2 г ферроценоилацетона (FcacH) в 150 мл ацетонитрила под атмосферой аргона освещали светом ртутной лампы (ДРЛ-125) при температуре 10°C в течение 3 ч. Выделившийся в ходе синтеза осадок отфильтровывали, промывали небольшим количеством растворителя, после высушивали и перекристаллизо-

вывали из бензола с выделением 0.5 г (35% от теорет.) порошка темно-красного цвета.

Для комплекса, брутто-формула которого C₂₈H₂₆Fe₂O₄Fe, элементный анализ на содержание углерода и водорода был выполнен на СНН-анализаторе Vario EL III (Elementar), а на содержание Fe рентгенофлуоресцентным методом на спектрометре Axiom Advanced (Panalytical). Результаты (найденно/вычислено, %: С 56.48/56.56; Н 4.36/4.38; Fe 28.19/28.28) соответствовали химическому составу хелата – (Fcac)₂Fe.

Образование комплекса подтверждается четкими аналитическими признаками ИК спектроскопии. ИК спектр поглощения получен на ИК-Фурье спектрометре Vector 22 (Bruker) в диапазоне 4000–400 см⁻¹ (в матрице KBr), рис. 1. Обработка спектральной информации выполнена по программе OPUS. 3 (версия 2.2).

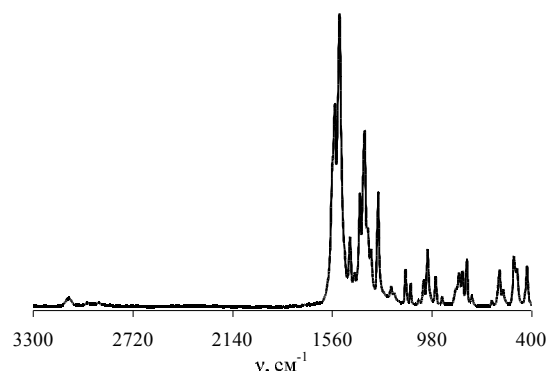


Рис. 1. ИК спектр поглощения комплекса
Fig. 1. IR absorption spectrum of complex

Спектральные картины ферроценоилацетонатов железа (II и III) очень схожи [4]. В ИК спектре комплекса присутствуют полосы поглощения (п.п.), характерные для ферроценовой структуры в составе соединения, 3092 см^{-1} $\nu(\text{C-H, Sr-кольца})$, 821 см^{-1} $\pi(\text{C-H, Sr-кольца})$, 502 см^{-1} $\rho_{as}(\text{Fe-Sr-кольцо})$ и 484 см^{-1} $\nu_{as}(\text{Fe-Sr-кольцо})$ [7]. П.п. 1105 см^{-1} $\delta_{as}(\text{Sr-кольца})$ и 1005 см^{-1} $\delta(\text{C-H, Sr-кольца})$ служат доказательством наличия свободного Sr-кольца [8]. В области частот $1600\text{--}1370\text{ см}^{-1}$ присутствуют п.п. при 1545 и 1400 см^{-1} ($\Delta\nu = 145$); 1518 и 1373 см^{-1} ($\Delta\nu = 145$), относящиеся к ν_{as} и ν_s -колебаниям координированных с железом обеих $\text{C}\equiv\text{O}$ -групп. Сдвиг $\nu(\text{C}\equiv\text{O})$ в низкочастотную область при комплексообразовании составляет $\sim 72\text{ см}^{-1}$. П.п. при 2920 см^{-1} относится к $\nu(\text{CH}_3)$, а при 1134 см^{-1} к смешанному колебанию COCH_3 -группы, что доказывает наличие метильной группы в составе соединения. Частота средней интенсивности 426 см^{-1} соответствует $\nu(\text{Fe-O})$.

Электронный спектр поглощения комплекса в видимой и УФ-области регистрировали на спектрофотометре Evolution 300 (Thermo Electron) в диапазоне длин волн от 190 до 800 нм в CH_3CN , рис. 2.

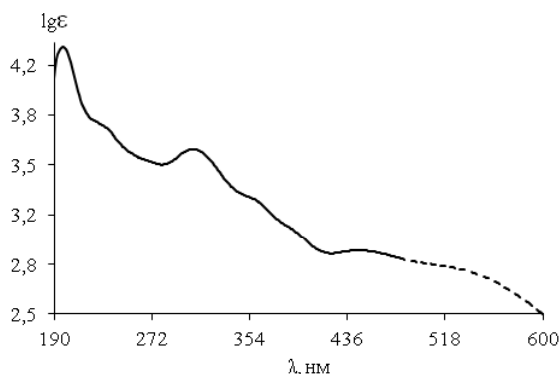


Рис. 2. Электронный спектр поглощения комплекса
Fig. 2. Electronic absorption spectrum for complex

Электронные спектры поглощения ферроценоилацетонатов железа (II и III) также схожи [4]. Во всем диапазоне спектра интенсивность п.п. комплекса меньше чем у лиганда [9]. В УФ-области спектра комплекс имеет п.п. 198 , 232 (плечо) и 306 нм , не изменяющие свое положение относительно лиганда. В видимой части спектра присутствует п.п. при 446 нм , претерпевающая гипсохромной сдвиг по сравнению с лигандом. На фоне интенсивных п.п. ферроценового фрагмента регистрируются слабые $d-d$ переходы хелатированного железа (плечо) при 550 нм .

Исследование комплекса в области атомов железа сэндвичевого фрагмента (Fe') и хелатного

цикла (Fe'') проведено спектроскопией Мессбауэра. Мессбауэровский ^{57}Fe -спектр поглощения комплекса (рис. 3) получен на спектрометре МС1104Ем с источником $\text{Co}^{57}(\text{Cr})$, из которого вычислены основные Мессбауэровские параметры атомов железа, представленные в таблице (W – ширина линии поглощения).

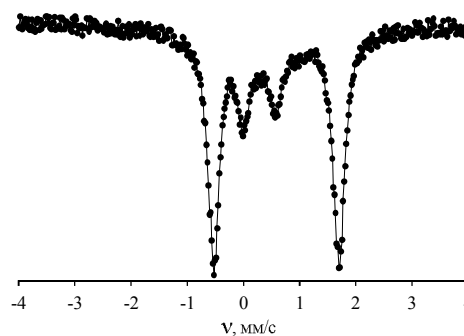


Рис. 3. Мессбауэровский ^{57}Fe -спектр поглощения комплекса
Fig. 3. ^{57}Fe Mössbauer absorption spectrum of complex

Таблица
Мессбауэровские параметры атомов железа
в комплексе

Table. Mössbauer parameters of iron atoms in complex

Позиция	Fe'	Fe''
A(3)	0.69	0.31
IS(5), мм/с	0.431	0.144
QS(2), мм/с	2.23	0.57
W(2), мм/с	0.25	0.35

Спектр представляет собой сумму двух квадрупольных дублетов. Изомерные химические сдвиги (IS), определенные относительно металлического $\alpha\text{-Fe}$ и интенсивности дублетов различаются, свидетельствуя о наличии двух неэквивалентных атомов железа в комплексе с различной долевой заселенностью (A) и электронным состоянием. По величине IS атом Fe' близок к лигандному [9], его большое квадрупольное расщепление (QS) указывает на то, что определяющий вклад в градиент электрического поля на ядре вносит шестой электрон в $3d$ -оболочке. По своему электронному состоянию атом Fe' имеет сильно искаженную октаэдрическую конфигурацию, очень схожую с конфигурацией в лиганде. IS атома Fe'' , как и его QS (обусловленное только решеточным вкладом в градиент электрического поля) имеют значительно меньшие значения, близкие к Мессбауэровским данным атома железа в комплексе – *бис*-ацетилацетонат железа (II) [10]. Атом Fe'' и хелатный узел имеет сильно искаженную тетраэдрическую конфигурацию, подобную тому, как и в *бис*-ферроценоилацетонате цинка [11].

На основании спектроскопических исследований в сочетании с результатами элементного анализа комплексу следует приписать хелатное строение, изображенное на схеме.

Авторы выражают благодарность сотруднику ИХ и ХТ СО РАН О.В. Чудину за помощь в проведении фотосинтеза.

ЛИТЕРАТУРА

1. **Боболев В.К.** // Физика горения и взрыва. 1971. Т. 7. № 3. С. 366-375;
Bobolev V.K. // *Physika Gopreniya I Vzryva*. 1971. V. 7. N 3. P. 366-375 (in Russian).
2. **Вишнякова Т.П.** // Высокомолекул. соед. 1968. Т. 10. Сер. Б. С. 452-454;
Vishnyakova T.P. // *Vysokomolekularnye Soed.* 1968. V. 10. Ser. B. P. 452-454 (in Russian).
3. **Паушкин Я.М.** // Журн. общ. химии. 1969. Т. 39. № 11. С. 2379-2382;
4. **Imai H., Yaehashi Y.** // *Nippon Kagaku Zasshi*. 1970. V. 91. N 5. P. 452-457.
5. **Bell W.** // *J. Organomet. Chem.* 1992. V. 434. P. 115-121.
6. **De-Ji Che.** // *J. Organomet. Chem.* 1998. V. 568. P. 165-169.
7. **Орлик Ю.Г.** // Журн. общ. химии. 1978. Т. 48. № 7. С. 1601-1607;
Orlik Yu.G. // *Zhurn. Obshch. Khimii*. 1978. V. 48. N 7. P. 1601-1607 (in Russian).
8. **Несмеянов А.Н.** // Докл. АН СССР. 1957. Т. 117. № 3. С. 433-436;
Nesmeyanov A.N. // *Dokl. AN USSR*. 1957. V. 117. N 3. P. 433-436 (in Russian).
9. **Васильев А.Д.** // Журн. структур. химии. 2010. Т. 51. № 1. С. 120-125;
Vasiliev A.D. // *Zhurn. Strukt. Khimii*. 2010. V. 51. N 1. P. 120-125 (in Russian).
10. **Epstein L.M.** // *J. Chem. Phys.* 1962. V. 36. N 10. P. 2731-2737.
11. **Jin'an Zhao.** // *Mater. Lett.* 2007. V. 61. P. 4196-4198.

УДК 678. 747.

А.Д. Бадикова, А.М. Мусина, Ф.Х. Кудашева, Р.Н. Хайруллина, Р.Н. Гимаев

РЕГУЛИРОВАНИЕ ФИЗИКО-ХИМИЧЕСКИХ СВОЙСТВ ОЛИГОЭФИРОВ, ПОЛУЧЕННЫХ НА ОСНОВЕ ТВЕРДОГО ОТХОДА ПРОИЗВОДСТВА ТЕРЕФТАЛЕВОЙ КИСЛОТЫ

(Башкирский государственный университет)

e-mail: alsumusina1090@rambler.ru, badikova_albina@mail.ru

Определены оптимальные условия и параметры процесса получения олигоэфиров с различными физико-химическими характеристиками с применением ИК спектроскопии.

Ключевые слова: кислота техническая терефталевая обводненная, ИК спектроскопия, олигоэфиры

В процессе получения терефталевой кислоты образуется полупродукт – кислота техническая терефталевая обводненная (ТТФК) с содержанием ТФК до 92% масс., что не удовлетворяет требованиям ТУ на ТФК для производства полиэтилентерефталата. На сегодняшний день данный продукт не находит рационального применения для создания коммерческой продукции. Авторами [1] предложен способ синтеза олигоэфиров продуктов на основе ТТФК, который заключается в проведении реакции поликонденсации между ТТФК и многоатомными спиртами при различных соотношениях ТТФК : многоатомные спирты – 1:1–1:5 и варьировании температуры в интервале 160-220°C и времени протекания процесса 5-30 часов.

Полученные продукты могут использоваться в различных областях промышленности, таких как производство стеклопластиков, пласт-

массовых изделий, полиуретанов, для изготовления прессовочных и изоляционных композиций, а также высококачественных лаков и эмалей [2]. Специфическое целевое назначение каждого конкретного вида олигоэфира определяет требование к его структуре и свойствам, что обуславливает, в свою очередь, выбор рецептуры и технологии производства.

В связи с этим, целью исследования явилось изучение влияния исходных компонентов и условий реакции на физико-химические свойства полученных олигоэфиров на основе обводненной технической терефталевой кислоты.

ЭКСПЕРИМЕНТАЛЬНАЯ ЧАСТЬ

В работе использовалась кислота техническая терефталевая обводненная (ТТФК), представляющая собой порошок от белого до серого цвета, с кислотным числом 630 мг КОН/г, обладающая специфическим запахом, и трудно рас-